

ارزیابی رابطه‌ی عوامل ژئومورفولوژی با اشکال فرسایش با استفاده از طرح LADA و آزمون آماری کروسکال والیس : مطالعه موردی آبخیز مارگون در استان فارس

بهروز سعدین (نویسنده مسئول)

مریم گروه جغرافیا واحد لارستان، دانشگاه آزاد اسلامی لارستان، ایران

محمد ابراهیم عفیفی

استاد یار گروه جغرافیا واحد لارستان، دانشگاه آزاد اسلامی لارستان، ایران

چکیده

آبخیز بررسی شده یکی از منطقه‌های مستعد دامپروری در استان فارس است که با بهره‌گیری بیش از حد و نامناسب از زمین ، در خطر پیدایش و پیشرفت شکل‌های مختلف فرسایش آبی می باشد . بنابراین ضروری است که عامل‌های مؤثر بر تشدید شرایط فرسایش آبی در آن‌ها برای مدیریت و مهارکردن آن‌ها بررسی شود. در این تحقیق رابطه‌ی عامل‌های مهم زمین‌ریختی با تغییر شکل‌های فرسایش آبی سطحی، شیاری، خندقی و زمین (بلند) در بخشی از آبخیز مارگون به دست آورده شد. طبقه‌های مختلف جنس سنگ، شبیب، جهت و ارتفاع با هر یک از شکل‌های فرسایش در منطقه ارتباط داده شد تا ایجاد شدن انواع آن‌ها و شکل فرسایشی غالب در طبقه‌های هر یک از عامل‌ها مشخص گردد . با کمک گرفتن از پژوهش ارزیابی تخریب زمین در منطقه‌های خشک (LADA) به شکل‌های فرسایش منطقه بر حسب شدت و ضعف آن‌ها رتبه داده شد ، و برپایه‌ی ماهیت داده‌ها و متغیرهای بررسی شده آزمون آماری کروسکال والیس به کار برده شد. نتیجه‌های به دست آمده بیانگر آن است که بیشترین فراوانی شکل‌های پیشرفتی فرسایش آبی یعنی فرسایش خندقی و بلند به ترتیب در سازندهای آهکرس و سنگ گچ و نمک (۸/۴٪ و ۸/۱٪)، بلندی‌های ۱۰۰۰-۱۲۰۰ متر (۶/۷٪ و ۲۱/۳٪)، شبیه‌های ۱۰-۲۰٪ (۸/۷٪ و ۱۵٪)، و جهت دامنه‌ی جنوبی (۷/۵٪ و ۹/۵٪) است. نتیجه‌ی آزمون آماری برای جنس سنگ، شبیب و جهت دامنه در تراز ۰/۰۵ و برای ارتفاع در تراز ۰/۰۱ معنی‌دار به دست آمد ، که نشان می‌دهد شکل‌های فرسایش آبی در طبقه‌ی عامل‌های بررسی شده تفاوت مشخصی دارد. بنابراین می‌توان این عامل‌های ژئومورفولوژی را برای ارزیابی کردن شکل‌های فرسایش آبی و شدت آن در منطقه‌های مشابه به کار برد.

واژگان کلیدی: شکل‌های فرسایش، طرح ارزیابی ، LADA، مارگون ، ژئومورفولوژی ، کروسکال والیس

مقدمه

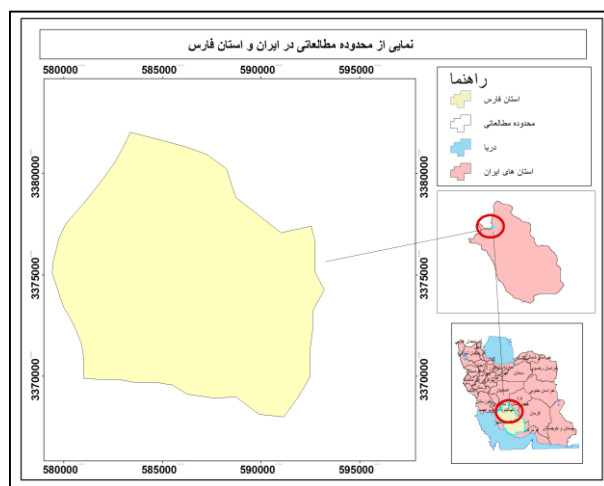
فرسایش آبی سطحی، خندقی و حرکت‌تدهای در بیش از ۱۲۰۰۰۰۰ هکتار از منطقه‌های کوهستانی و دشت‌های میان آن‌ها در ایران غالب است (اسفندیاری و همکاران ۲۰۱۶). فرسایش شیاری یکی از فرآیندهای فرسایش ناشی از آب در زمین‌های شیبدار و مرتع‌ها در بسیاری از منطقه‌های جهان است که باعث ازدست‌رفتن مقدار زیادی خاک می‌شود (رجیبی و همکاران ۲۰۱۶). از میان شکل‌های مختلف فرسایش آبی، فرسایش خندقی رخداد مهم و مؤثری در نابودشدن خاک، تغییرکردن منظم زمین و آب، و پسرفت زمین‌ها است. فرسایش خندقی نقش اساسی در تولیدکردن رسوب در منطقه‌های حساس حوزه‌های آبخیز دارد (روستایی و همکاران ۲۰۱۵). از جمله اثرهای مخرب این شکل فرسایش پرشدن مخزن سدها بر اثر تولیدشدن حجم زیاد رسوب، از بین رفتن زمین‌های کشاورزی، کاهش یافتن حاصل خیزی خاک، گسترش یافتن زمین‌های بدخیم، هدر رفتن آب بر اثر کاهش ظرفیت نگهداری خاک است (رحمیم پور و همکاران ۲۰۱۷). هدر رفتن خاک در این نوع فرسایش چندین برابر بیشتر از فرسایش شیاری و سطحی است، و هرگاه تعداد خندق‌ها در هر کیلومترمربع از زمین بیش از ۷۰ یا طول آن‌ها در هر کیلومترمربع زمین بیش از ۱۰ کیلومتر باشد، فرسایش خندقی به فرسایش بدخیم تبدیل می‌شود. در زمین‌های بدلند معمولاً شکل‌های مختلف فرسایش نیز یافته می‌شود (فلاخی و منشادی ۲۰۱۶). در بیش‌تر منطقه‌هایی که گسترش طبیعی زمین بدخیم در آن زیاد است، ویژگی‌های سنگ‌شناسی و آب‌وهوایی در ایجادکردن آن دخالت مستقیم دارد. در واقع نقشه‌ی سنگ‌شناسی است که اساس واحدهای زمین ریختی را تشکیل می‌دهد. همین واحدهای سنگ‌شناسی بر حسب اثر عامل‌های تخریب و فرسایش، نوع دامنه‌ها و پستی‌بلندی سطحی اغلب به اختلاف مقاومت سنگ‌ها و ساختمان زمین‌شناسی وابسته است. از این‌رو اولین عاملی که در توجیه کردن اختلاف شکل‌های سطحی ناشی از فرسایش به آن توجه می‌شود، ویژگی‌های چینه‌شناسی و سنگ‌شناسی است. هر قدر سنگ‌ها سست‌تر باشد فرسایش آن‌ها بیش‌تر است (احمدی ۲۰۱۲). از طرفی، درک این‌که چگونه آب‌وهوا، پستی‌بلندی، و پوشش زمین بر فرآیندهای فرسایش خاک اثر می‌کند ضروری است (امیری و همکاران ۲۰۱۹). پستی‌بلندی نه تنها به خودی خود نقش مهمی در تشکیل و تکامل خاک دارد، بلکه سنجه‌های حساس نیواری مانند دما و رطوبت را تغییر می‌دهد؛ پس تغییر دهنده‌ی آب‌وهوا در تراز ناحیه‌یی دانسته می‌شود. جهت دامنه‌ها نیز بسیار مهم است، به طوری که فرآیند خاک‌سازی در دامنه‌ی شمالی و جنوبی با هم تفاوت دارد (عرب قشقایی و همکاران ۲۰۱۱). ارتفاع در آب‌وهوای منطقه و به همراه آن در تشکیل و توسعه‌ی خاک و نوع تراکم پوشش گیاهی اثر دارد، و بنابراین آگاهی از ویژگی‌های پستی‌بلندی به ویژه نحوه‌ی توزیع سطح با ارتفاع در شناخت سازوکارهای آبخیزها اهمیت فراوان دارد (امیدوار ۲۰۱۱) پستی‌بلندی مدل USLE به دلیل حساسیت زیاد نتیجه‌های مدل به آن، و به دلیل پیچیدگی اثرهای آن بر فرسایش خاک عامل مهمی در این مدل دانسته می‌شود (درانی نژاد ۲۰۱۱). پژوهش اسمیت و ویشمایر (۱۹۶۲) نشان داد که اثر فرسایش بر سطح‌های شیبدار بسیار پیچیده است. بودکو و دزهیریرو (۲۰۰۵) با بررسی عامل

های مختلف محیطی، شیب، جهت، و بافت خاک را مهم ترین عامل‌های مؤثر در فرسایش دانستند. (رضایی و همکاران ۲۰۱۱) عامل‌های مؤثر بر فرسایش را معرفی کردند و میزان فرسایش را در رخساره‌های مختلف فرسایشی متفاوت دانستند که باید در تعیین کردن میزان فرسایش به آن توجه شود. (علی‌محمدی ۲۰۰۲) نشان دادند که ریخت‌شناسی (شیب و جهت) از عامل‌های مهم در فرسایش‌پذیری خاک‌ها است باید در برآورده کردن فرسایش خاک به آن توجه شود. (عباس نژاد ۱۹۹۸) در ارزیابی تخریب زمین در منطقه‌های خشک^۱ (LADA) روش‌شناسی جامعی را برای تعیین و تهیه کردن نقشه‌ی تخریب زمین پایه‌ریزی و اجرا کردند. در این ارزیابی در سه مقیاس فضایی (محلی، ملی و جهانی) وضعیت، عامل‌ها و اثرهای تخریب زمین در نظام کاربری بررسی شد. شکل‌های فرسایش با آب و باد بررسی، و به هر یک از آن‌ها بر حسب شدت تخریب ارزش و رتبه داده شد. نتیجه‌های آنان درک بهتری از پدیده‌های تخریب زمین به دست داد و عمل کرد مناسب در همه‌ی سطح‌ها را نشان داد. بررسی رابطه‌ی پستی و بلندی و فرسایش خاک در فلات لسی چین با ترکیب کردن تحلیل بخش پایه‌ی (PCA) و وایازی خطی (wang et all ۲۰۰۱) نشان داد که الگوی ویژگی‌های پستی بلندی آبخیز و شاخص پستی بلندی فرسایش مشابه است. در ایران نتیجه‌های بررسی اثر شیب بر شدت فرسایش و ایجاد رخساره‌های فرسایشی در آبخیز لتيان (عباس نژاد ۱۹۹۸) نشان داد که درصد رخساره‌های فرسایشی در هر رده از شیب ابتدا افزایش و سپس کاهش پیدا می‌کند، که دلیل آن را افزایش رخساره‌های توده‌سنگی و بیرون‌زدگی سنگی در بلندی‌ها و مقاومت بودن جنس سنگ در شیب‌های زیادتر دانستند. نتیجه‌های بررسی آستانه‌ی پستی بلندی و عامل‌های مؤثر بر رسوب‌زایی و گسترش خندق‌ها در منطقه‌ی نی‌ریز استان فارس (عرب قشقایی و همکاران ۲۰۱۲) غالباً بودن روان‌آب سطحی را در جایگاه فرآیند آب‌شناختی عمده در گسترش آن‌ها نشان داد. بررسی آستانه‌ی پستی بلندی نیز نشان داد که فرآیند روان‌آب سطحی به علت منفی شدن توان (b) غالباً است. بررسی ارتباط بین ویژگی‌های فیزیکی و شیمیایی آهک‌رس حساس با فرسایش در آبخیز تلخه‌رود با نوع‌های مختلف فرسایش نشان داد که در میان‌گین داده‌ها در بین فرسایش‌های توده‌ی (بلند) ، اسیدیته تفاوت معنی‌دار دارد (اسفندیاری و همکاران ۲۰۱۶). نتیجه های رابطه‌ی فرسایش‌پذیری ، شکل‌های فرسایش و از میان‌رفتن خاک‌های حاصل از سه نوع آهک‌رس در آذربایجان غربی (روستایی و همکاران ۲۰۱۵) نشان داد که با آن‌که به طور کلی وضعیت فرسایش سطحی در طبقه‌ی متوسط است، در منطقه‌های قره‌تپه‌قره‌آغاج فرسایش خندقی امتیاز بیشتری گرفته است. ارزیابی فرسایش‌پذیری خاک در آبخیز سد طرق مشهد (رحیم پور و همکاران ۲۰۱۷) نشان داد که در جهت شمالی کمترین فرسایش‌پذیری در شیب کمتر از ۱۰٪ مشاهده شد ، که با سایر درجه‌های شیب تفاوت معنی‌داری دارد. در جهت جنوبی بین درجه‌های مختلف از نظر مقدار شاخص فرسایش‌پذیری تفاوت معنی‌داری مشاهده نشد. (فلاحی و همکاران ۲۰۱۶) در تحلیل عامل‌های مؤثر بر تشکیل و گسترش زمین‌های بدلند در آبخیز ماملو نشان دادند که زمین‌های بدلند در منطقه‌های با گل‌سنگ، آهک‌رس، گچ و جوش‌سنگ قرمز ارتفاع کمتر از ۱۴۰۰ متر و شیب ۱۰-۵٪ بیشترین تراکم را دارد. (رجبهی و همکاران ۲۰۱۶) در مدل‌سازی مکانی فرسایش خندقی آبخیز مهارلو نشان دادند که طبقه‌های ارتفاعی کم و جهت‌های جنوبی نقش موثری در وقوع فرسایش خندقی داشته است. (درانی نژاد و همکاران ۲۰۱۱) در بررسی روابط ریخت‌سنگی خندق‌ها

در بخش نیمه خشک استان ایلام به این نتیجه رسیدند که عامل های پستی بلندی بر شکل نهایی خندق ها تاثیرگذار است. بیشتر پژوهش ها بر یک شکل از فرسایش به ویژه فرسایش خندقی بوده است. در ارتباط با شکل های فرسایش آبی برخی از بررسی ها به شبیه سازی دامنه، و برخی دیگر صرفاً به ویژگی های فیزیکی و شیمیایی خاک یا فرسایش پذیری آن پرداخته اند. منطقه ای بررسی شده با سازند های زمین شناسی حساس آهک رس، پلمه سنگ و سنگ های تبخیری، آب و هوای خشک و نیمه خشک تنوع ریخت شناسی، شرایط طبیعی را برای ایجاد شدن نوع های مختلف فرسایش آبی از فرسایش سطحی تا فرسایش خندقی و بدلتند دارد. برای مبارزه با، و به تبع آن موفقیت در، مهار کردن فرسایش خاک بررسی کردن کمی عامل ها و شکل های فرسایش و شدت آنها در منطقه ضروری است. تاکنون نقش عامل های زمین ریختی در تشکیل و توسعه ای شکل های فرسایش آبی در ایران با توجه به طرح LADA و آمار استنباطی بررسی نشده است. این پژوهش برای شناخت علمی ارتباط عامل های جنس سنگ و ریخت شناسی با شکل های فرسایش آبی منطقه انجام شد.

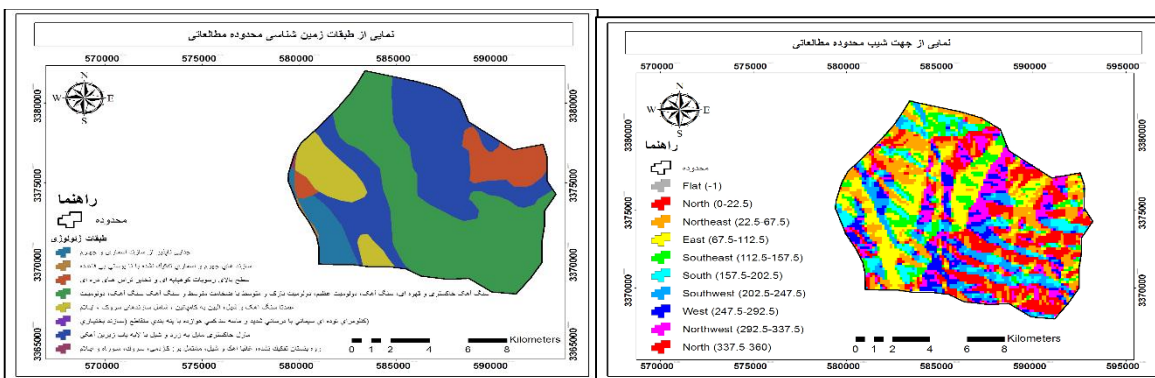
مواد و روش ها

محدوده و قلمرو پژوهش حوضه مارگون است که منطقه حفاظت شده آبشار مارگون در آن واقع شده است. این منطقه در شمال غربی استان فارس و ۱۲۸ کیلومتری شهرستان شیراز بین "۳۰" تا "۳۱" درجه عرض شمالی و "۵۱" تا "۵۲" درجه طول شرقی واقع شده است. دارای پوشش گیاهی و جانوری متنوعی است که با توجه به آشفتگی های بروز یافته (اعم از طبیعی و غیر طبیعی) هم اکنون با مشکلاتی متفاوت نظیر کاهش کیفیت اکولوژیکی، تنزل کارایی اکوسیستم های طبیعی، فرسایش خاک، و غیره مواجه است(شکل ۱)

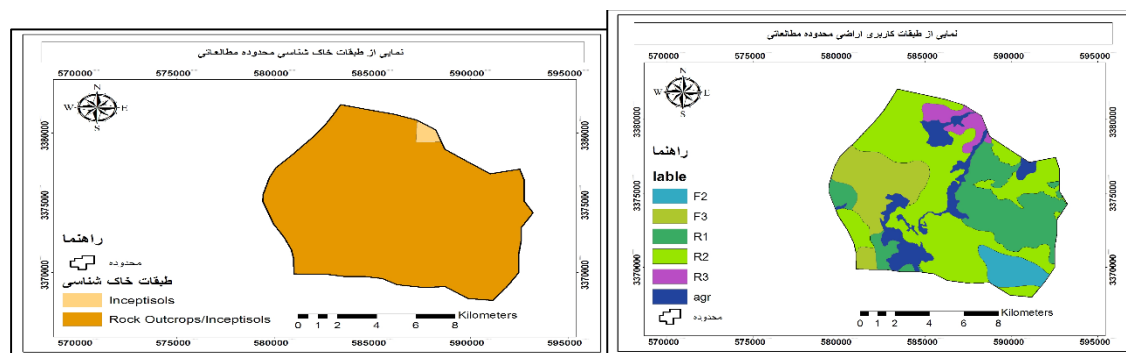


شکل ۱: نمایی از محدوده مطالعاتی در ایران و شیراز

برای تهیه کردن لایه‌ی جنس سنگ نقشه‌ی زمین‌شناسی (۱:۱۰۰۰۰۰) سازمان زمین‌شناسی کشور به کار برد شد و لایه‌های ریخت‌شناسی منطقه شامل ارتفاع، شیب و جهت دامنه از مدل رقومی ارتفاع (DEM) با اندازه‌ی خانه‌های ۳۰ متری به دست آمد. برای تهیه نقشه‌ی نوع فرسایش منطقه تصویر گوگل ارث ۲۰۱۴ و عکس‌های هوایی (۱:۲۰۰۰۰) سازمان نقشه‌برداری کشور به کار برد شد، و از آنجا که تشخیص شکل‌های فرسایش در صحرا به راحتی امکان‌پذیر است، برای تکمیل کردن و بازنگری نقشه، بازدیدهای صحرایی و تطبیق اطلاعات با دستگاه موقعیت یاب جهانی (GPS) انجام شد. به این ترتیب شکل‌های مختلف فرسایش در منطقه شامل فرسایش سطحی، شیاری، خندقی و بدلند شناسایی شد.

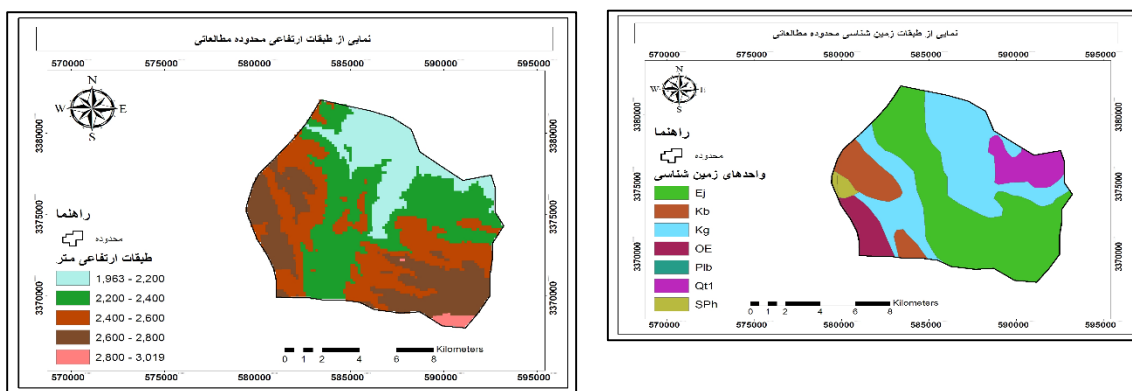


شکل ۲: نقشه طبقات زمین‌شناسی محدوده مطالعاتی



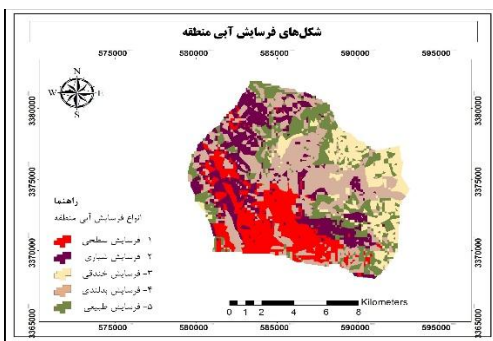
شکل ۳: نقشه کاربری اراضی محدوده مطالعاتی

شکل ۴: طبقات خاک شناسی محدوده مطالعاتی



شکل ۷: نقشه طبقات ارتفاعی محدوده مطالعاتی

شکل ۶: واحدهای زمین‌شناسی محدوده مطالعاتی



شکل ۸: شکل های فرسایش آبی منطقه مطالعاتی

لایه‌ی نوع فرسایش آبی با لایه‌های متغیرها در ArcGIS هم‌پوشانی داده، و برای تعیین کردن رابطه‌ی عامل‌های زمین ریختی با شکل‌های مختلف فرسایش آبی آزمون آماری به کار برده شد. بر پایه‌ی داده‌های طرح ارزیابی تخریب زمین در منطقه‌های خشک (LADA) به شکل‌های فرسایش آبی منطقه برحسب شدت و ضعف آن‌ها رتبه داده شد. به فرسایش سطحی و شیاری که از مرحله‌های ابتدایی تخریب خاک است و شدت آن‌ها کم‌تر است به ترتیب رتبه‌ی ۱ و ۲، و به فرسایش خندقی و بدخیم که مرحله‌ی نهایی از میان رفتمندی و هدر رفتمندی خاک است رتبه‌ی ۳ و ۴ داده شد (berhe et all ۲۰۱۲). با در نظر گرفتن ماهیت متغیرها و داده‌های بررسی شده آزمون کروسکال والیس به کار برده شد. این آزمون که با مجموع رتبه‌های مشاهده‌ها کار می‌کند به تحلیل پراش شبیه است، اما به فرض بهنجار بودن جامعه‌ها نیازی ندارد و به جای داده‌ها، رتبه‌ی آن‌ها به کار برد می‌شود. در کروسکال والیس فرض برابر بودن میانگین‌های K جامعه آزموده می‌شود (نصیری ۲۰۱۵). توزیع آماری این آزمون مجازور کای با χ^2 درجه‌ی آزادی است و مقدار آن از رابطه‌ی ۱ به دست می‌آید:

$$x = \frac{\sum_{i=1}^{n_i(R_i - \frac{n(n+1)i}{m})}}{n(n+1)i}$$

میانگین رتبه‌ها در نمونه‌ی i

مشاهده‌ها در نمونه‌ی i ام، و $n = n_1 + n_2 + \dots + nk$ تعداد کل مشاهده‌ها است.

نتایج

با تفکیک و تعیین کردن حد فرسایش آبی در بخشی از آبخیز مارگون ، شکل‌های مختلف آن شامل فرسایش سطحی، شیاری، خندقی و بدلند تشخیص داده شد. نقشه‌ی به دست آمده (شکل ۶) نشان می‌دهد که فرسایش سطحی در ۱۵۱۹ هکتار، شیاری در ۱۳۹۸ هکتار، خندقی در ۴۴۵۱ هکتار و بدلند در ۶۶۷۹ هکتار از مساحت منطقه است. شکل فرسایش غالب در منطقه فرسایش بدلند با بیشترین فراوانی $42/3$ ٪ است. به علاوه حدود ۱۷۴۲ هکتار از سطح منطقه از برآن زدهای سخت و یکپارچه‌ی سنگی تشکیل شده است که هیچ‌کدام از فرسایش‌های آبی در آن نیست سطح فرسایش طبیعی شناخته شد. در این منطقه‌ها فرسایش ساختمانی غالب است و میزان فرسایش کم و طبیعی است. نتیجه‌های هم پوشانی دادن لایه‌های جنس سنگ، ارتفاع، شیب جهت دامنه با شکل‌های مختلف فرسایش آبی منطقه با کاربرد ArcGIS در جدول‌های ۱ تا ۴ نشان داده شده است. نتیجه‌ی آزمون آماری کروسکال والیس برای بررسی معنی داری تغییر شکل‌های فرسایش آبی با عامل‌های زمین‌ریختی در جدول ۵ نشان داده شده است. بررسی رابطه‌ی جنس سنگ با نوع‌های مختلف فرسایش آبی منطقه بیانگر آن است که شکل‌های پیشرفتی و بحرانی آن یعنی فرسایش بدلند و خندقی در سازندهای حساس منطقه بیشترین فراوانی را دارد. فراوانی بدلند در سازند آهکرس و گچ $15/8$ ٪ و در سنگ نمک $7/3$ ٪ است. این میزان برای فرسایش خندقی به ترتیب $8/4$ ٪ و $6/9$ ٪ مشاهده شد (جدول ۱). در مقابل، فراوانی شکل‌های کم‌تر توسعه‌یافته مانند فرسایش سطحی در سنگ آهک توده‌ی بیشتر است ($5/3$ ٪).

جدول ۱- مساحت (هکتار) و درصد مساحت شکل‌های مختلف فرسایش آبی در سازندهای منطقه.

جنس سنگ										
Qft۲	PLC	PLQc	PLCs	OMql	MURsh	MURmg	MURm	EOsa	شکل‌های فرسایش	
۱۰۹ ٪ ۰/۷	۰ ٪ ۰	۵۶ ٪ ۰/۴	۰ ٪ ۰	۸۴۰ ٪ ۵/۳	۷۰ ٪ ۰/۴	۱۰۷ ٪ ۰/۷	۳۲ ٪ ۰/۲	۳۰۸ ٪ ۱/۹	سطحی	
۱۴۳ ٪ ۰/۹	۴۱ ٪ ۰/۳	۱۱۴ ٪ ۰/۷	۲۰ ٪ ۰/۱	۲۰۲ ٪ ۱/۳	۷۴ ٪ ۰/۵	۴۶۹ ٪ ۳	۱۵۷ ٪ ۱	۲۲۱ ٪ ۱/۴	شیاری	
۲۹۰ ٪ ۱/۸	۸۲۱ ٪ ۰/۲	۱۸ ٪ ۰/۱	۴۲۲ ٪ ۲/۷	۱۶۶ ٪ ۱	۳۹۰ ٪ ۲/۵	۱۱۵۶ ٪ ۷/۳	۸۷۲ ٪ ۵/۵	۱۰۹۳ ٪ ۶/۹	خندقی	
۵۹۴ ٪ ۳/۸	۰ ٪ ۰	۶۹ ٪ ۰/۴	۸۴۹ ٪ ۰/۴	۲۹۱ ٪ ۱/۸	۹۲ ٪ ۰/۶	۲۵۰۵ ٪ ۱۵/۸	۱۳۲ ٪ ۰/۸	۱۳۳۶ ٪ ۸/۴	بدلند	
۰ ٪ ۰	۰ ٪ ۰	۰ ٪ ۰	۷۸ ٪ ۰/۰	۲۴۶ ٪ ۱/۶	۱۲۷ ٪ ۰/۸	۳۴ ٪ ۰/۲	۶۹۰ ٪ ۴/۴	۵۷۲ ٪ ۳/۶	فرسایش طبیعی	
۱۱۳۶ ٪ ۷/۲	۸۶۲ ٪ ۰/۵	۲۵۷ ٪ ۱/۶	۱۳۷۹ ٪ ۸/۷	۱۷۴۵ ٪ ۱۱	۷۵۳ ٪ ۴/۸	۴۲۷۱ ٪ ۲/۷	۱۸۸۳ ٪ ۱۱/۹	۳۵۳۰ ٪ ۲۲/۳	مجموع	

سنگ نمک گنبدی و لایه‌یی، MUrml: آهکرس قرمز همراه با ماسه‌سنگ، MUrsh: پلمه‌سنگ، آهکرس و ماسه‌سنگ، OMql: سنگ آهک توده‌یی ضخیم، PLcs: جوش‌سنگ توده‌یی و ماسه‌سنگ، Plc: جوش‌سنگی قرمز با جورشدگی متوسط، Qft2: جوش‌سنگ و ماسه‌سنگ، EOsa^۲: مخروط افکنه و پادگانه‌های آبرفتی.

بررسی رابطه‌ی لایه‌ی ارتفاع با شکل‌های مختلف فرسایش آبی منطقه (جدول ۲) نشان می‌دهد که فراوانی شکل‌های پیشرفتی فرسایش آبی در طبقه‌ی ارتفاعی ۱۰۰۰-۱۲۰۰ متر بیشتر است (فرسایش بدخیم $\frac{21}{3}$ ٪ و فرسایش خندقی $\frac{6}{7}$ ٪). این فراوانی تا ارتفاع ۱۶۰۰ متر نیز دیده می‌شود (فرسایش بدلند $\frac{6}{4}$ ٪ و فرسایش خندقی $\frac{5}{6}$ ٪)، اما در بلندی‌های بیشتر از ۱۶۰۰ متر نوع‌های پیشرفتی فرسایش آبی کاهش چشمگیری نشان داد و در بلندی‌های بیشتر از ۲۰۰۰ متر هیچ فرسایش خندقی و بدلند ثبت نشد. در مقابل، بیشترین فراوانی در سطح فرسایش طبیعی با رخ نمون سنگی در طبقه‌ی ارتفاعی ۱۸۰۰-۱۶۰۰ متر بود. در منطقه‌های مرتفع (در مقایسه با بلندی‌های ۱۲۰۰ تا ۱۶۰۰ متر) فراوانی نسبی شکل‌های کمتر توسعه یافته‌ی فرسایش آبی مثل فرسایش سطحی و شیاری بیشتر بود.

جدول ۲- مساحت (هکتار) و درصد مساحت شکل‌های مختلف فرسایش آبی در طبقه‌های ارتفاعی منطقه.

ارتفاع (متر)							
شکل های فرسایش	<۱۰۰	۱۲۰۰-۱۰۰۰	۱۴۰۰-۱۲۰۰	۱۶۰۰-۱۴۰۰	۱۸۰۰-۱۶۰۰	۲۰۰۰-۱۸۰۰	>۲۰۰۰
سطحی	۹۲۳	۳۹۲	٪ ۲/۵	٪ ۰	٪ ۰/۱	٪ ۰/۵	٪ ۰/۳
شیاری	۰	۱۱۰۲	٪ ۷	٪ ۰/۲	٪ ۰/۳	٪ ۰/۹	٪ ۰/۳
خندقی	۲۶۸	۱۰۵۹	٪ ۶/۷	٪ ۷	٪ ۵/۶	٪ ۳/۶	٪ ۰
بدلند	۳۵۴	۲۳۶۵	٪ ۲۱/۳	٪ ۱۰/۱	٪ ۶/۴	٪ ۰/۱۶	٪ ۰
فرسایش طبیعی	۵۷۲	۶۹۰	٪ ۴/۴	٪ ۰/۲	٪ ۱/۸	٪ ۱/۵	٪ ۰
مجموع	۱۵۴۵	۵۹۸۸	٪ ۳۷/۹	٪ ۱۹/۱	٪ ۱۵	٪ ۹/۴	٪ ۱

نتیجه‌های همپوشانی لایه‌های شیب و شکل‌های مختلف فرسایش آبی منطقه (جدول ۳) نشان می‌دهد که بیشترین

فراوانی در فرسایش سطحی و شیاری در طبقه‌ی شیب ۱۰-۰٪ و فرسایش خندقی و بدلند در طبقه‌ی شیب ۰-۲۰٪ بود، و با افزایش شیب از سطح آن‌ها کاسته می‌شد. اما سطح فرسایش طبیعی با رخنمون سنگی در طبقه‌ی شیب بیشتر از ۶۰٪ (۳/۱٪) غالب است. به طورکلی در شیب‌های کمتر از ۱۰٪ میزان فرسایش کمتر است؛ ازین رو فراوانی نوع های کمتر توسعه یافته‌ی فرسایش سطحی و شیاری در این طبقه بیشتر است (فرسایش سطحی ۷/۴٪ و فرسایش شیاری ۶/۱٪). فرسایش در شیب‌های بیشتر از ۱۰٪ افزایش یافت و بیشتر شکل‌های پیشرفته‌تر فرسایش آبی دیده شد (بدلند ۱۵٪ تا ۶/۴٪ و خندقی ۸/۷٪ تا ۵/۲٪).

جدول ۳- مساحت (هکتار) و درصد مساحت شکل‌های مختلف فرسایش آبی در طبقه‌های شیب منطقه.

شیب (درصد)								شکل‌های فرسایش
>۶۰	۵۰ - ۶۰	۴۰ - ۵۰	۳۰ - ۴۰	۲۰ - ۳۰	۱۰ - ۲۰	۰ - ۱۰		
۵۰٪ ۰/۳	۷٪ ۰	۱۶٪ ۰/۱	۴۰٪ ۰/۳	۶۸٪ ۰/۴	۱۶۶٪ ۱/۱	۱۱۷۲٪ ۷/۴	سطحی	
۱۰۴٪ ۰/۷	۳۳٪ ۰/۲	۲۰٪ ۰/۱	۳۹٪ ۰/۲	۷۹٪ ۰/۵	۱۵۷٪ ۱	۹۶۶٪ ۶/۱	شیاری	
۵۹۶٪ ۳/۸	۱۶۹٪ ۱/۱	۲۰۰٪ ۱/۳	۴۵۳٪ ۲/۹	۸۲۵٪ ۰/۲	۱۳۷۲٪ ۸/۷	۸۳۵٪ ۵/۳	خندقی	
۳۲۸٪ ۲/۱	۹۵٪ ۰/۴	۲۶۵٪ ۱/۵	۱۰۰۸٪ ۲/۹	۱۵۹۲٪ ۶/۴	۳۳۶۵٪ ۱۵	۲۲۱۰٪ ۱۴	بدلند	
۴۸۹٪ ۳/۱	۱۳۴٪ ۰/۸	۱۴۸٪ ۰/۹	۲۸۱٪ ۱/۸	۳۲۷٪ ۲/۱	۲۸۳٪ ۱/۸	۸۰٪ ۰/۵	فرسایش طبیعی	
۱۵۶۷٪ ۹/۹	۴۰۹٪ ۲/۶	۶۲۸٪ ۴	۱۲۷۳٪ ۸/۱	۲۳۰۷٪ ۱۴/۶	۴۴۴۱٪ ۲۷/۵	۵۲۶۳٪ ۳۲/۳	مجموع	

نتیجه‌های همپوشانی لایه‌های جهت دامنه و شکل‌های مختلف فرسایش آبی منطقه (جدول ۴) نشان می‌دهد که بیشترین فراوانی شکل‌های فرسایش بررسی شده بهویژه بدلند و خندقی در جهت دامنه‌ی جنوبی است، در حالی که در منطقه‌های مسطح و در جهت‌های شمال شرقی و شمالی به کمترین مقدار بود. تفاوت در آفتاب‌گیری جهت‌های مختلف دامنه‌ها، شرایط دمایی متفاوت خاک درنتیجه هوا را به وجود می‌آورد. تابش آفتاب بر هر واحد سطح زمین در دامنه‌های جنوبی بیش از شیب‌های شمالی است (عالی ۲۰۰۲). درنتیجه رطوبت و پوشش گیاهی کمتر است و فرسایش بیشتری رخ می‌دهد. ازین‌رو، شکل‌های پیشرفته‌ی فرسایش آبی در دامنه‌های جنوبی گسترش بیشتری نشان می‌دهد (فرسایش بدلند ۹/۵٪ و فرسایش خندقی ۷/۵٪). پس از آن، شیب‌های جنوب غربی گرمتر از شیب‌های جنوب شرقی است (همان)؛ ازین‌رو، گسترش این فرسایش‌ها به ترتیب در دامنه‌های جنوب غربی و سپس جنوب شرقی نیز دیده شد. در مقابل در دامنه‌های شمالی که تابش کمتر و رطوبت و پوشش گیاهی بیشتر است، شدت فرسایش کاسته شده و شکل

های پیشرفتی فرسایش آبی در آن کمتر از دامنه‌های دیگر است (فرسایش بدلند ۲/۷٪ و فرسایش خندقی ۱/۸٪).

جدول ۴- مساحت (هکتار) و درصد مساحت شکل‌های فرسایش آبی در جهت‌های مختلف دامنه.

جهت دامنه										
شمال غرب	غرب	جنوب غرب	جنوب	جنوب شرقی	شرقی	شمال شرقی	شمال	شمال	مسطح	شکل‌های فرسایش
۴۹ ٪ ۰/۳	۱۸۱ ٪ ۱/۱	۳۲۸ ٪ ۲/۱	۳۸۳ ٪ ۲/۴	۲۸۲ ٪ ۱/۸	۱۵۲ ٪ ۱	۶۷ ٪ ۰/۴	۴۲ ٪ ۰/۳	۳۵ ٪ ۰/۲	سطوحی	
۸۴ ٪ ۰/۵	۲۱۹ ٪ ۱/۴	۱۹۱ ٪ ۱/۲	۲۶۲ ٪ ۱/۷	۲۱۵ ٪ ۱/۴	۲۸۲ ٪ ۱/۸	۱۰۲ ٪ ۰/۶	۳۴ ٪ ۰/۲	۹ ٪ ۰/۱	شیاری	
۴۵۴ ٪ ۲/۹	۷۹۷ ٪ ۰/۵	۸۸۲ ٪ ۰/۵/۶	۹۰۵ ٪ ۰/۵/۷	۵۵۲ ٪ ۳/۵	۴۰۹ ٪ ۲/۶	۱۷۳ ٪ ۱/۱	۲۷۸ ٪ ۱/۸	۱ ٪ ۰	خندقی	
۵۳۲ ٪ ۳/۴	۹۹۴ ٪ ۰/۶/۳	۱۰۴۰ ٪ ۰/۶/۶	۱۴۹۵ ٪ ۰/۹/۵	۱۰۷۹ ٪ ۰/۶/۸	۶۸۱ ٪ ۰/۴/۳	۴۲۹ ٪ ۰/۲/۷	۴۲۵ ٪ ۰/۲/۷	۵ ٪ ۰	بدلند	
۱۹۸ ٪ ۱/۳	۳۳۵ ٪ ۰/۲/۱	۴۰۷ ٪ ۰/۲/۶	۴۳۰ ٪ ۰/۲/۷	۱۴۰ ٪ ۰/۰/۹	۸۱ ٪ ۰/۰/۵	۴۳ ٪ ۰/۰/۳	۱۰۸ ٪ ۰/۰/۷	۱ ٪ ۰	فرسایش طبیعی	
۱۳۱۷ ٪ ۰/۸/۳	۲۵۲۶ ٪ ۰/۱/۶	۲۸۴۸ ٪ ۰/۱/۸	۳۴۷۵ ٪ ۰/۲/۲	۲۲۶۸ ٪ ۰/۱۴/۴	۱۶۰۵ ٪ ۰/۱۰/۲	۸۱۴ ٪ ۰/۵/۲	۸۸۷ ٪ ۰/۵/۶	۵۱ ٪ ۰/۰/۳	مجموع	

در بررسی درستی تفسیر نتیجه‌ها و تعیین کردن معنی داری تغییر شکل‌های فرسایش آبی در طبقه‌های بررسی شده (جدول ۵) از آنجائیکه تراز معنی داری متناظر با آماری آزمون کروسکال والیس برای جنس سنگ، شیب و جهت دامنه کوچکتر از ۰/۰۱ و برای ارتفاع کوچکتر از ۰/۰۵ است، تفاوت شکل‌های فرسایش آبی در این متغیرها معنی‌دار است و بین شکل‌های مختلف فرسایش آبی در طبقه‌های این عامل‌ها تفاوت مشخصی وجود دارد.

جدول ۵- نتیجه‌ی آزمون کروسکال والیس برای عامل‌های زمین‌ریختی

ردیف	عامل	Chi-square	df	sig	تفاوت
۱	جنس سنگ	۲۳/۲۹۷	۸	۰/۰۰۳	دارد
۲	ارتفاع	۱۴/۲۸۸	۶	۰/۰۲۷	دارد
۳	شیب	۸۳/۷۷۰	۶	۰/۰۰۰	دارد
۴	جهت دامنه	۴۷/۲۸۲	۸	۰/۰۰۰	دارد

بحث و نتیجه‌گیری

در این تحقیق، تغییر نوع‌های فرایش آبی موجود در بخشی از آبخیز مارگون و رابطه‌ی بین عامل‌های زمین ریختی با شکل‌های فرایش بررسی شد. نتیجه نشان‌دهنده‌ی رابطه‌ی معنی‌دار جنس سنگ و ریخت‌شناسی با شکل‌های فرایش آبی است. نتیجه‌ی مقابله‌ی میزان فرایش دانست. به علاوه میزان فرایش را در رخساره‌های مختلف فرایشی متفاوت دانست، که باید در تعیین کردن میزان فرایش به آن توجه شود.

سطح شکل‌های اولیه‌ی فرایش آبی یعنی فرایش سطحی در سنگ‌های مقاوم آهک توده‌ی با فراوانی $2/5\%$ در منطقه بیشترین بود، در حالی که فراوانی شکل‌های پیشرفته و بحرانی فرایش خندقی و بدحیم در سازنده‌های آهک رس و گچ که حساسیت زیادی به فرایش دارند، به ترتیب با $8/4\%$ و $15/8\%$ بیشترین بود. (امیری و همکاران ۲۰۱۹) در تحلیل عامل‌های موثر بر گسترش بدلتنهای در آبخیز ماملو به این نتیجه رسیدند که بدلتنهای در منطقه‌های با گل‌سنگ، آهک رس، گچ و جوش‌سنگ قرمز بیشترین فراوانی را نشان می‌دهند. آزمودن آماری عامل شیب در تراز اطمینان ۹۹٪ نشان داد که شکل‌های فرایش در طبقه‌های آن تفاوت مشخصی دارد شیب یکی از عامل‌های مهم است که می‌تواند بر شکل‌های فرایش آبی اثر بگذارد. به نظر شینجو (۲۰۰۲) نیز شیب یکی از خصوصیت‌هایی است که همبستگی زیادی با فرایش و انواع آن دارد. نتیجه‌های تحقیق کوثری و همکاران (۲۰۱۰) نشان داد که تغییر جزئی شیب بهویژه شیب با شماره‌ی منحنی بر زمان تمرکز افزایش می‌یابد. در شیب کمتر از 10% ، شکل‌های ابتدایی کمتر توسعه یافته‌ی فرایش سطحی و شیاری فراوانی بیشتری دارد، و با افزایش یافتن شیب آبراه تأثیر سنجه‌هایی مانند طول آبراه اصلی یا شماره‌ی منحنی بر زمان تمرکز افزایش می‌یابد. در شیب کمتر از 10% ، شکل‌های پیشرفته‌ی فرایش آبی یعنی فرایش خندقی و بدحیم گستردۀ می‌شود. در شیب‌های زیاد سطح فرایش طبیعی بروزنزدهای سنگی غالب می‌شود و فرایش به دلیل نبود خاک کاهش می‌یابد. (عرب قشقایی و همکاران ۲۰۱۱) نیز با دیدن همبستگی بین شیب و شدت فرایش در آبخیز لتیان، طبقه‌های شیب $20\text{--}30$ درصد را در حد بیشینه‌ی فرایش دانستند. در موقعیت‌های شیب تن، فرایش منجر به حذف شدن خاک سطحی می‌شود (فلاحتی و همکاران ۲۰۱۶) از این‌رو فراوانی شکل‌های مختلف فرایش آبی در شیب‌های زیاد کاهش می‌یابد. بررسی ارتفاع نشان داد که تفاوت مشخصی در نوع‌های فرایشی طبقه‌های ارتفاعی منطقه است، و ارتفاع در تراز اطمینان 95% ممکن است یکی از عامل‌های تأثیرگزار در ایجاد شدن شکل‌های فرایشی باشد. در بلندی‌ها هوا سرد و شیب زیاد است و تشکیل و تجمع خاک کند است. به سبب زمان رویش کوتاه گیاهان و سردی هوا در بلندی‌ها، ریز زینندگان خاک نمی‌توانند به خوبی فعالیت کنند، خاک‌زایی به کندی انجام می‌گیرد، و فرایش بیشتر زمین‌شناختی و طبیعی است (امیدوار ۲۰۱۰). شکل بارش پژوهش (رضایی و همکاران ۲۰۱۱) نیز نشان داد که بیشترین میزان فرایش در آبخیز بررسی شده در سازنده‌های آهک رسی است و درصد ماسه بین شکل‌های مختلف فرایش خندقی و بدلتند، و مقدار گچ بین فرایش شیاری، خندقی و هزاردره‌ی تفاوت معنی دار نشان می‌دهد. سادیکی (۲۰۰۷) نیز جنس سنگ را از عامل‌های مؤثر بر فرایش معرفی کرد و علت آن را مقاومت متفاوت سنگ‌ها در نیز اغلب برف است که فرایندگی آن با فرایش کاوشی باران تفاوت دارد. از این‌رو، بیشترین

فراوانی سطح فرسایش طبیعی در طبقه‌ی ارتفاعی ۱۶۰۰-۱۸۰۰ متر مشاهده شد. در بلندی‌های کم‌تر، گسترش شکل‌های پیشرفته‌ی فرسایش آبی یعنی فرسایش خندقی و بدخیم بیشتر است، و در طبقه‌ی ارتفاعی ۱۰۰۰-۱۲۰۰ متر به حد بیشینه می‌رسد. نیز در پژوهش خود به این نتیجه رسیدند که عامل‌های پستی‌بلندی بر شکل نهایی خندق‌ها تاثیرگزار است. جهت دامنه نیز یکی از متغیرهای مؤثر بر شکل‌های فرسایش آبی منطقه است و رابطه‌ی معنی‌داری با تغییر شکل‌های فرسایش آبی منطقه در تراز اطمینان ۹۹٪ نشان داده شد. پژوهش‌های پیشین ارتباط جهت دامنه را با شدت فرسایش آبی تأیید می‌کند (اسفندياري و همكاران ۲۰۱۶) جهت‌های جنوبی و جنوب غربی گرم‌تر است (عباس نژاد و همكاران ۱۹۹۸) عامل‌های تخریب و فرسایش فعال‌تر عمل می‌کند. در جهت دامنه‌ی جنوبی و جنوب غربی بیشترین رخداد فرسایش از نوع خندقی و بدخیم است، اما در دامنه‌های شمالی و شمال شرقی فراوانی آن‌ها کم‌تر است. (عرب قشقایي و همكاران ۲۰۱۱) نیز در پهنه‌بندی فرسایش خندقی در آبخیز طرود فیروزکوه نشان دادند که بیشترین فرسایش خندقی در جهت‌های جنوب شرقی و جنوبی است. درواقع دامنه‌های شمالی حساسیت کم‌تری به فرسایش آبی دارد و پایداری بیش‌تری نشان می‌دهد. با شناختن میزان گسترش هر یک از شکل‌های فرسایش آبی و ارتباط آن‌ها با عامل‌های زمین‌ریختی، و معرفی کردن حساس‌ترین طبقه‌های هر یک از عامل‌ها در این تحقیق می‌توان راهکارهای اجرایی مناسبی برای مقابله با آسیب‌های فرسایش آبی را متمرکز و بهتر کرد. پیشنهاد می‌شود که در طبقه‌های بحرانی عامل‌های بررسی شده، که فرسایش پیشرفته‌ی خندقی و بدلتند بیشترین فراوانی را دارد، کارهای حفاظتی و قرق کرده شود، زیرا هزینه‌ی اصلاح کردن آن‌ها بیش‌تر از سود حاصل از انجام آن‌ها است، اما لازم است طبقه‌هایی که در آن‌ها فراوانی و حساسیت شکل‌های پیشرفته‌ی فرسایش کم‌تر است (داده‌های پژوهش) در اولویت اجرایی سایر کنش‌های آبخیزداری و سازه‌ای گذاشته شود. در طبقه‌هایی که فرسایش سطحی و شیاری غالب است می‌توان با انجام‌دادن کارهای اصلاحی و زیستی سرعت روان‌آب‌ها را کاهش داد و به تثیت نوع‌های فرسایش کمک کرد. بهره‌وری در منطقه باید بر اساس شرایط زمین ریختی و توان سرزمهین باشد، و اگر متناسب با ویژگی‌های هریک از طبقه‌های عامل‌های بررسی شده نباشد منجر به گسترش یافتن بیش‌تر شکل‌های فرسایش در منطقه می‌شود.

منابع

- اسفندياري، درآباد، فريبيا، بهشتی جاويد، ابراهيم، (۱۳۹۵)، پهنه‌بندی حساسیت وقوع زمین لغزش با استفاده از مدل هيريريدی قضيه بيز ANP (مطالعه موردي: گردنه حيران، هيذرورئومورفولوژي، شماره ۸، رجبی، مقصومه، ولی زاده کامران، خليل، عابدي قشلاق، حسن، (۱۳۹۵)، ارزیابی و پهنه‌بندی خطر زمین لغزش با استفاده از فرایند تحليل شبکه و شبکه عصبی مصنوعی (مطالعه موردي: حوضه آدرشهر چای)، پژوهش های ژئومورفولوژي کمی، سال پنجم، شماره ۱.
- روستائي، شهرام، مختارى، داود، حسيني، زهراء، اطمانى حقوقiran، مهدى، (۱۳۹۴) بررسی پتانسيل وقوع زمین لغزش در حوضه آبخیز رودخانه ميمه در استان ايلام به روش تحليل شبکه، هيذرورئومورفولوژي، شماره ۴.

رحیم پور، توحید، روستایی، شهرام، نخستین روحی، مهسا، پنهانی بندی خطر و قوع زمین لغزش با استفاده از فرآیند تحلیل سلسله مراتبی و GIS مطالعه موردی حوضه آبریز سردول چای استان اردبیل، فصلنامه هیدرولوژی و مورفولوژی، دوره چهارم شماره ۱۳ زمستان ۱۳۹۶

فلاحی، غلامرضا، دهقان منشادی. (۱۳۹۵)، کاربرد منطق فازی و الگوریتم شبکه مصنوعی در تهیه نقشه حساسیت زمین لغزش در حوضه رودخانه چالوس، نشریه علمی- ترویجی مهندسی نقشه برداری و اطلاعات مکانی، دوره هفتم، شماره ۲.

نظم فر، حسین، بهشتی، ابراهیم. (۱۳۹۵)، کاربرد ترکیبی فرایند تحلیل شبکه و منطق فازی در پنهانی بندی حساسیت و قوع زمین لغزش (مطالعه موردی: حوضه آبریز چلی چای)، جغرافیا و برنامه ریزی محیطی، سال ۲۷، شماره ۱.

احمدی حسن. ۲۰۱۲. ژئومورفولوژی کاربردی، (فرسایش آب)، چاپ پنجم، انتشارات دانشگاه تهران. . ص.

امیری مهدیس، پورقاسمی حمیدرضا، قنبیان غلام عباس فخرالدین، افضلی س. . مدل سازی فضایی فرسایش رودخانه ای در حوزه آبخیز مهارلو با استفاده از سناریوهای مختلف و الگوریتم وزن شواهد، مجله مهندسی و مدیریت آبخیزداری، ۱۱ (۴): ص ۱۰۳۲-۱۰۱۶ ، ۱۳۹۸، جلد ۱۱ شماره ۴.

عرب قشقاوی زهرا، نیکامی داود، شادرف صمد، معینی ابوالفضل. ۲۰۱۱. پنهانی بندی فرسایش جالب در حوضه طرود فیروزکوه، مجله تحقیقاتی زمین جغرافیایی زمین، ۸ (۳۱): ۱۱۸-۱۰۷.

امیدوار، کمال (۱۳۹۰)؛ مخاطرات طبیعی؛ انتشارات دانشگاه یزد.

درانی نژاد، محمدصادق (۱۳۹۰)؛ گزارش بررسی فرونشست منطقه داراب؛ سازمان آب منطقه ای فارس.

رضایی، عبدالعلی؛ موسوی، نعمت ا...؛ (۱۳۹۰)؛ گزارش پیش بینی تعییرات سطح آب زیرزمینی دشت سیدان فاروق با مدل سری های زمانی؛ سازمان آب منطقه ای فارس.

عالی. افشنین، (۱۳۸۱)؛ بررسی علل نشست در دشت یزد - اردکان؛ سومین همایش بین المللی ژئوتکنونیک و مکانیک خاک ایران، تهران.

عباس نژاد، احمد، (۱۳۷۷)، بررسی شرایط و مسائل زمین شناسی محیط زیست دشت رفسنجان، فنرده مقالات دومین همایش انجمن زمین شناسی ایران.

Wang J, Qiu B, Fu Y, Chen LL. ۲۰۰۱. Soil nu-trients in relation to land use and landscape position in the semi-arid small catchment on the loess Plateau in China, Journal of Arid Environments, ۴۸(۴): ۵۳۷-۵۵۰.

Rif, Morocco, Catena, ۷۱(۱): ۱۳-۲۰. Salmasi R, Peyrowan HR. ۲۰۱۲. Study of the relation between physico-chemical proper-ties and erosional features of marly sedi-ments in the Talkheh Rood watershed, Wa-tershed Engineering and Management, ۴(۳): ۱۶۰-۱۶۹. (In Persian)

Shinjo H, Hirata M, Konga N, Kosak T. ۲۰۰۲. Evaluation of water erosion risk and recommendation for sustainable landuse northea- ern Syria. ۱۷th WCSS, Thailand, ۱۱۷۵.

Smith DD, Wischmeier WH. ۱۹۶۲. Rainfall erosion, advances in agronomy, New York, Academic Press, ۱۴: ۱۰۹-۱۴۸.

Wang J, Qiu B, Fu Y, Chen LL. ۲۰۰۱. Soil nu-trients in relation to land use and landscape position in the semi-arid small catchment on the loess Plateau in China, Journal of Arid Environments,

۴۸(۴): ۵۳۷-۵۵۰.

Berhe A, Harden JW, Torn MS, Kleber M, Bur-ton SD, Harte J. ۲۰۱۲. Persistence of soil organic matter in eroding versus depositional landform positions, *Journal of Geophysical Research*, ۱۱۷(۲): ۱-۱۶.

Carminati, E., & Martinelli, G.,(۲۰۰۲), Subsidence rates in the Po Plain, northern Italy: The relative impact of natural and anthropogenic causation. *Engineering Geology*, 66: ۲۴۱-۲۵۵.

Murayama S., Shibata T.Y (۱۹۶۱) An experimental research on the Subsidence of ground (I), (Japanese), *Annals of Disaster Prevention Research Inst.. Kyoto Univ.*:No. ۴, pp. ۱۱-۲۰.

Poland, J.F., (۱۹۸۱), The occurrence and control of land subsidence due to withdrawal with special reference to the San Joaquin and Santa Clara Valleys, California, ph.D Dissertation, Standford University, Palo Alto, California.

Pacheco, J., Arzate, J., Rojas, E., Arroyo, M., Yutsis, V., & Ochoa, G.,(۲۰۰۶), Delimitation of ground failure zones due to land subsidence using gravity data and finite element modeling in the Queretaro valley, Mexico. *Engineering Geology*, 84:۱۴۳-۱۶۰.

Evaluation of Geomorphological Factors with Erosion Forms Using LADA Design and Kruskal-Wallis Statistical Test: A Case Study of a Watershed in Fars Province

Abstract

Forms of erosion demon rate its intensity. The udy area is one of the suitable rangelands for animal husbandries in the Province of Semnan, which is subjected to a plethora of water erosion forms due to an overuse of the land. Therefore, it is necessary to investigate the effective factors in an aggravation of water erosion conditions in this area to manage and control it. Erosion in arid and semi-arid regions is intense; therefore, it is necessary to take action to inhibit or reduce it. As the forms of erosion are identifiable, we tried to determine the relationships between geomorphology and forms of water erosion, namely: sheet, rill, gully and badland in a sub-watershed of the margin catchment.

Different classes of lithology, slope, aspect and elevation were correlated with any of forms of erosion in the area to determine their variety in the development and dominant erosion on each of the classes and each factor. Using the guidelines of the Land Degradation Assessment in Drylands (LADA), the forms of erosion in terms of its intensity was ranked and was used according to the typology of the variables. The Kruskal-Wallis test was used. The results indicated that the highly developed forms of water erosion, gullies and badlands, marl, gypsum and salt formations (8.4 and 10.8%), an elevation of $1000-1200$ meters, the slope of $10-20\%$ (8.7 and 10%) and the southern aspects domain (5.7 and 9.0%) respectively. The result of Kruskal-Wallis test for the slope and aspect at 0.01 and elevation at 0.00 , respectively, were found to be significant, which indicated that there were specified differences in the forms of water erosion at the specified classes of geomorphology factors of the area. Therefore, geomorphology factors may be used to assess forms of water erosion and its intensity in similar regions.

Keywords : erosion forms , assessment design , LADA , margin , geomorphology , Kruskal-Wallis